

Теоретическая фазовая диаграмма температура–электрическое поле для дейтерированной тиомочевины SC(ND₂)₂

© Д.Г. Санников

Институт кристаллографии им. А.В.Шубникова Российской академии наук, 117333 Москва, Россия

(Поступила в Редакцию 26 августа 1996 г.
В окончательной редакции 23 января 1997 г.)

Построена теоретическая фазовая диаграмма температура–электрическое поле для дейтерированной тиомочевины SC(ND₂)₂. Используется феноменологический подход, основанный на записи термодинамических потенциалов всех фаз. Теоретическая диаграмма сравнивается с экспериментальной.

1. На рис. 1 схематически представлена экспериментальная фазовая диаграмма "температура T –электрическое поле E_x " для дейтерированной тиомочевины SC(ND₂)₂ (d -тиомочевина) [1] (см. также обзоры [2,3]). На этой диаграмме наблюдаются следующие фазы: исходная фаза (C -фаза), соразмерная фаза, эквитрансляционная с исходной (C_0 -фаза), несоизмерная фаза (IC -фаза), соразмерные фазы с безразмерным волновым числом $q = q_{m/l} = m/l = 1/9, 1/8$ ($C_{m/l}$ -фазы). Заметим, что в поле E_x симметрия C -фазы становится одинаковой с симметрией C_0 -фазы и они превращаются в единую C -фазу.

Пространственную группу симметрии C -фазы D_{2h}^{16} выберем, как обычно, в установке $Pnma$ (см. [2]). Тогда пространственная группа симметрии C_0 -фазы — $P2_1ma(C_{2v}^2)$. Волновой вектор IC -фазы направлен вдоль оси y . Пространственные группы симметрии $C_{1/9}$ -фазы — $Pnma(D_{2h}^{16})$, $C_{1/8}$ -фазы — $P2_1ma(C_{2v}^2)$ (подробнее см. таблицу в [4]).

Теоретические рассмотрения T – E_x -фазовой диаграммы для тиомочевины проводились во многих работах [1–3,5–10]. Однако эти исследования нельзя считать законченными. Целью данной работы является построение теоретической T – E_x -диаграммы для d -тиомочевин на основе феноменологического подхода. Сначала будет построена фазовая диаграмма в безразмерных переменных D, A при различных значениях безразмерного поля E (см. далее), а затем на ее основе — T – E_x -диаграмма.

2. Для того чтобы получить термодинамические потенциалы для всех фаз, объединим два феноменологических подхода к описанию несоизмерных фазовых переходов. Для C -, C_0 - и IC -фаз термодинамический потенциал представим в виде [11,12]

$$\Phi = \int \Phi(y)dy / \int dy,$$

$$\Phi(y) = \alpha P_x^2 + \frac{2}{3}\beta P_x^4 - \bar{\delta}(\partial P_x / \partial y)^2 + \bar{\varkappa}(\partial^2 P_x / \partial y^2)^2 - P_x E_x, \quad (1)$$

где P_x — компонента вектора поляризации (однокомпонентного параметра порядка, зависящего от y).

В одногармоническом приближении

$$P_x = p + \sqrt{2}\rho \cos k_y y \quad (2)$$

($p = 0$ при $E_x = 0$) потенциал IC -фазы, как следует из (1), принимает вид

$$\Phi_{IC} = \alpha(q)\rho^2 + \beta\rho^4 + \alpha p^2 + \frac{2}{3}\beta p^4 + 4\beta\rho^2 p^2 - pE_x, \quad (3)$$

где

$$\alpha(q) = \alpha - \delta q^2 + \varkappa q^4, \quad q = k_y / b^*,$$

$$b^* = 2\pi / b, \quad \delta = \bar{\delta} b^{*2}, \quad \varkappa = \bar{\varkappa} b^{*4}, \quad (4)$$

q — безразмерное волновое число, δ и \varkappa — безразмерные коэффициенты. Необходимо предположить, что $\beta > 0$, $\varkappa > 0$, а также $\delta > 0$.

Потенциал C -фазы, как следует из (1), имеет вид

$$\Phi_C = \alpha P_x^2 + \frac{2}{3}\beta P_x^4 - P_x E_x. \quad (5)$$

Потенциалы $C_{m/l}$ -фаз получить из (1) нельзя. Поэтому используем феноменологический подход к описанию дьявольской лестницы [13]. Полагаем, что одна мягкая оптическая ветвь нормальных колебаний кристалла генерирует все фазы, наблюдаемые в тиомочевине. Зависимость коэффициента упругости этой ветви от волнового числа $\alpha(q)$ аппроксимируем простейшей функцией (4). Она имеет максимум в центре и минимум в произвольной точке зоны Бриллюэна (при $\delta > 0$).

Поскольку мягкая оптическая ветвь двукратно вырождена, т.е. $\alpha(q) = \alpha(-q)$, параметр порядка в потенциале, который отвечает произвольному q , является двухкомпонентным. Удобно использовать полярную систему координат $\eta = R \cos \varphi$, $\xi = R \sin \varphi$. Тогда термодинамический потенциал можно представить в виде

$$\Phi = \alpha(q)R^2 + \beta R^4 - \alpha'_n R^n \cos n\varphi - b P_x R^{n/2} \cos \frac{n}{2}\varphi - P_x E_x, \quad (6)$$

где учтены две степени изотропного инварианта R^2 , одна анизотропного инварианта $R^n \cos n\varphi$, а также смешанный

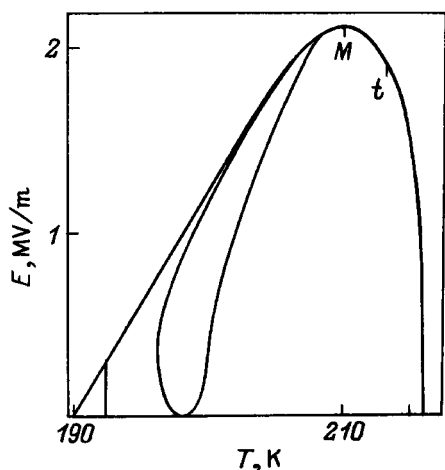


Рис. 1. Экспериментальная $T-E_x$ -фазовая диаграмма для d -тиомочевины [1].

анизотропный инвариант $P_x R^{n/2} \cos \frac{n}{2} \varphi$, содержащий однородную, т.е. не зависящую от y , компоненту P_x (которая пропорциональна амплитуде нормального колебания с $q = 0$, принадлежащего к той же мягкой оптической ветви).

Коэффициент α'_n в (6) отличен от нуля, только если q имеет рациональные значения $q = q_{m/l} = m/l$, причем $n = l$, если m и l оба нечетные, и $n = 2l$, если m и l имеют разную четность. Коэффициент b в (6) отличен от нуля только в последнем случае, т.е. когда $n = 2l$. Все это следует из соображений симметрии (см., например, [14]). Для иррациональных значений q члены с коэффициентами α'_n и b в (6) не удовлетворяют условию трансляционной симметрии кристалла вдоль оси y , т.е. не являются инвариантами.

Для того чтобы из (6) получить потенциал IC -фазы, совпадающий с (3), нужно добавить в (6) инварианты

$$\Delta \Phi = \alpha P_x^2 + \frac{2}{3} \beta P_x^4 + 4 \beta R^2 P_x^2. \quad (7)$$

Потенциал $C_{m/l}$ -фаз, который следует из (6), (7), имеет вид

$$\begin{aligned} \Phi_{m/l} = & \alpha(q_{m/l})R^2 + \beta R^4 + \alpha P_x^2 + \frac{2}{3} \beta P_x^4 + 4 \beta R^2 P_x^2 \\ & - \alpha'_n R^n \cos n\varphi - b P_x R^{n/2} \cos \frac{n}{2} \varphi - P_x E_x. \end{aligned} \quad (8)$$

Таким образом, используя два феноменологических подхода к описанию несоизмерных фазовых переходов и потребовав, чтобы выражения для потенциала IC -фазы в обоих подходах совпадали, мы получили выражения для потенциалов всех фаз: (3), (4) — для IC -фазы, (5) — для C -фазы, (8), (4) — для $C_{m/l}$ -фаз.

3. Упростим выражение для потенциала IC -фазы, минимизируя (3) по q . В результате из (4) получим

$$q^2 = \delta / 2\kappa \equiv q_0^2, \quad \alpha_0 \equiv \delta^2 / 4\kappa = \kappa q_0^4, \quad (9)$$

где введено также обозначение α_0 , используемое в дальнейшем. Поставив (9) в (3), получим $\alpha(q) = \alpha - \alpha_0$. Упростим выражение для потенциала $C_{m/l}$ -фаз, минимизируя (8) по φ . Решение имеет вид $\sin \frac{n}{2} \varphi = 0$, $\cos \frac{n}{2} \varphi = 1$ ($\alpha'_n > 0$, $b > 0$). Подставив это решение в (8), получим $\cos n\varphi = 1$, $\cos \frac{n}{2} \varphi = 1$.

Удобно ввести безразмерные переменные. Термодинамические потенциалы принимают тогда вид

$$\phi_C = -(A - D^2)P_0^2 + \frac{2}{3}P_0^4 - P_0 E,$$

$$\phi_{IC} = -AR^2 + R^4 - (A - D^2)P^2 + \frac{2}{3}P^4 + 4R^2 P^2 - PE,$$

$$\begin{aligned} \phi_{m/l} = & -AR_l^2 + R_l^4 - (A - D^2)P_l^2 + \frac{2}{3}P_l^4 + 4R_l^2 P_l^2 - P_l E \\ & + \left\{ (D - q_{m/l}^2)^2 R_l^2 - (2A_n)^{\frac{n}{2}-1} R_l^n - (2B_n)^{\frac{n}{4}-1} P_l R_l^{\frac{n}{2}} \right\}, \end{aligned}$$

$$\Phi_{C,IC,m/l} = \phi_{C,IC,m/l} \Phi_0, \quad P_x, \rho, p, R, P_x = (P_0, R, P, R_l, P_l) R_0,$$

$$E_x = EE_0, \quad \Phi_0 \equiv \kappa^2 / \beta, \quad R_0^2 \equiv \kappa / \beta, \quad E_0^2 \equiv \kappa^3 / \beta,$$

$$A_n = \frac{\kappa}{2\beta} \left(\frac{\alpha'_n}{\kappa} \right)^{\frac{2}{2-n}}, \quad B_n = \frac{\kappa}{2\beta} \left(\frac{b^2}{\kappa\beta} \right)^{\frac{2}{n-4}},$$

$$A \equiv \frac{\alpha - \alpha_0}{\kappa}, \quad D \equiv \frac{\delta}{2\kappa} = q_0^2. \quad (10)$$

4. Минимизируя потенциалы (10) по соответствующим переменным P_0, R, P, R_l и P_l , получим систему уравнений, определяющую равновесные значения этих переменных,

$$\partial \phi_C / \partial P_0 = -2(A - D^2)P_0 + \frac{8}{3}P_0^3 - E = 0,$$

$$\partial \phi_{IC} / \partial P = -2(A - D^2)P + \frac{8}{3}P^3 + 8R^2 P - E = 0,$$

$$\partial \phi_{IC} / \partial R = 2R(-A + 2R^2 + 4P^2) = 0,$$

$$\begin{aligned} \partial \phi_{m/l} / \partial R_l = & 2R_l \left[-A + 2R_l^2 + 4P_l^2 + \left\{ (D - q_{m/l}^2)^2 \right. \right. \\ & \left. \left. - \frac{n}{2} (2A_n R_l^2)^{\frac{n}{2}-1} - \frac{n}{4} (2B_n R_l^2)^{\frac{n}{4}-1} \right\} \right] = 0, \end{aligned}$$

$$\begin{aligned} \partial \phi_{m/l} / \partial P_l = & -2(A - D^2)P_l + \frac{8}{3}P_l^3 + 8R_l^2 P_l - E \\ & - \left\{ (2B_n R_l^2)^{\frac{n}{4}-1} R_l \right\} = 0. \end{aligned} \quad (11)$$

К системе первых трех уравнений (11) добавим уравнение

$$\phi_C = \phi_{IC} \quad (12)$$

для границы между C - и IC -фазами. Решая эту систему уравнений, получим следующие результаты (последовательность действий приведена, правда, с использованием другой системы переменных [10]). Явное выражение

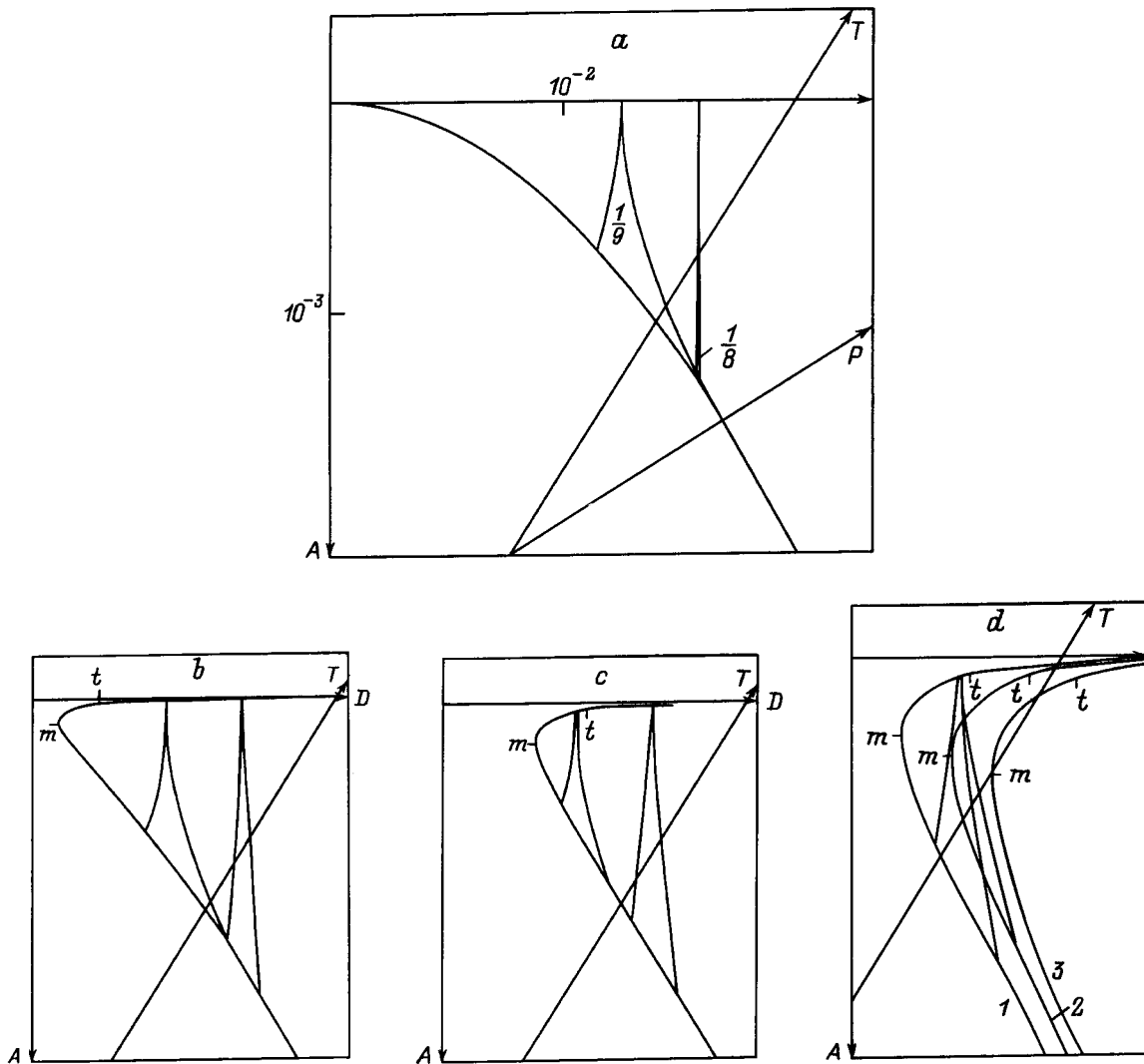


Рис. 2. D–A-фазовая диаграмма при различных значениях поля E (в единицах $0.35 \cdot 10^{-6}$): $a - 0, b - 1, c - 2.5, d - 5$ (1), 7.5 (2), 10 (3).

для линии фазовых переходов второго рода между C- и IC-фазами на плоскости D, A при $E \neq 0$ имеет вид

$$D^2 = \frac{2}{3}A + A^{-1/2}E. \tag{13}$$

Эта линия оканчивается в t -точке, которая разделяет C–IC-фазовые переходы второго и первого рода. Ее координаты

$$D_t^2 = 4 \left(\frac{3}{10}E \right)^{2/3}, \quad A_t = \frac{1}{4}D_t^2. \tag{14}$$

Координаты m -точки, в которой выполняется условие $dD/dA = 0$ для линии C–IC-фазовых переходов, следующие:

$$D_m^2 = \frac{7}{2} \left(\frac{3}{14}E \right)^{2/3}, \quad A_m = \frac{25}{14}D_m^2. \tag{15}$$

Линия фазовых переходов первого рода между C- и IC-фазами представлена параметрически уравнением

$$320(P + P_0)^2 P^2 P_0^2 + 48(5P - P_0) P P_0 E - 9E^2 = 0. \tag{16}$$

При фиксированном значении E задаем значение P_0 и определяем из (16) значение P . Затем из (11) определяем соответствующие значения D и A , т.е. точку на D – A -диаграмме. Построенная таким способом по точкам, а также по формулам (13)–(15), C–IC-граница приведена на рис. 2 для нескольких значений поля E . Из [10] можно получить $E_0 = 5.7 \cdot 10^9$ В/см, что отвечает значению $E_M = 2.125 \cdot 10^4$ В/см на рис. 1. Заметим, что $E_0 = 6.0 \cdot 10^9$ В/см, используемое в [10], отвечало значению $E_M = 2.285 \cdot 10^4$ В/см [15].

5. Рассмотрим теперь четыре последних уравнения (11), добавив к ним уравнение

$$\phi_{IC} = \phi_{m/l} \tag{17}$$

для границы между IC - и $C_{m/l}$ -фазами. Будем искать решение этой системы пяти уравнений при условии слабой анизотропии, когда члены в фигурной скобке в выражении для $\phi_{m/l}$ (10) относительно малы. При этом малой считается как собственная анизотропия, определяемая вторым членом в скобке, так и наведенная внешним полем E анизотропия, определяемая третьим членом в скобке (малость первого члена является следствием малости первых двух, см. далее). Решения для P и R^2 будем искать в виде разложения в степенной ряд по E . В результате получим явное выражение для границы между IC - и $C_{m/l}$ -фазами на плоскости D, A

$$\begin{aligned} (D - q_{m/l}^2)^2 &= \left[A_n \left(A - \frac{E^2}{(A + D^2)^2} \right) \right]^{\frac{3}{2}-1} \\ &+ \left[B_n \left(A - \frac{E^2}{(A + D^2)^2} \right) \right]^{\frac{3}{4}-1} \\ &\times \frac{E}{2(A + D^2)} \left(1 + \frac{5}{3} \frac{E^2}{(A + D^2)^3} \right), \end{aligned} \quad (18)$$

где D в знаменателе может быть заменено в рамках используемого приближения на $q_{m/l}^2$.

Как следует из (18), условия слабой анизотропии и относительно малого поля E имеют вид

$$\begin{aligned} (A_n A)^{\frac{3}{2}-1} A^{-1} &\ll 1, \quad (B_n A)^{\frac{3}{4}-1} A^{-1} (A + q_{m/l}^4)^{-1} E \ll 1, \\ E^2 (A + q_{m/l}^4)^3 &\ll 1. \end{aligned} \quad (19)$$

Напомним, что $B_n = 0$ для $C_{1/9}$ -фазы и отлично от нуля для $C_{1/8}$ -фазы.

Решая первое и два последних уравнения (11) совместно с уравнением $\phi_C = \phi_{m/l}$ для границы между C - и $C_{m/l}$ -фазами, можно получить при условиях (19) явное выражение для этой границы. Однако C - $C_{m/l}$ -граница мало отличается от C - IC -границы (при малых значениях E и вдали от m -точки). На рис. 2, $a-d$ это отличие не учитывалось.

6. Сделаем пояснения к рис. 2. Для каждого значения поля $E_x = \{0, 0.2, 0.5, 1, 1.5, 2\} \cdot 10^4$ В/см, т.е. $E = \{0, 1, 2.5, 5, 7.5, 10\} \cdot 0.35 \cdot 10^{-6}$, приводится отдельный рисунок (кроме трех последних значений поля), поскольку если их наложить друг на друга, то рис. 2 будет трудночитаемым. При построении границ на рис. 2 были выбраны следующие значения постоянных:

$$A_9 = 29, \quad A_{16} = 60, \quad B_{16} = 130. \quad (20)$$

Они определялись из условий лучшего соответствия теоретических фазовых диаграмм экспериментальным. На рис. 2 проведена ось T . Ее положение и наклон выбраны также из условий соответствия экспериментальным данным (см. [10], а также [4]). Точки пересечения границ между фазами с осью T при различных значениях E_x перенесены с рис. 2 на рис. 3.

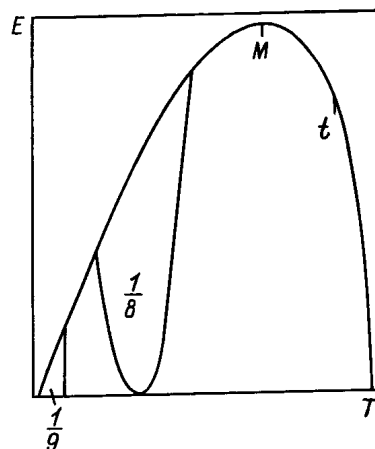


Рис. 3. Теоретическая T - E_x -фазовая диаграмма для d -тиомочевины.

Сравнение рис. 3 с рис. 1 показывает, что теоретическая и экспериментальная IC - $C_{1/9}$ -границы неплохо соответствуют друг другу. Теоретическую IC - $C_{1/8}$ -границу можно считать соответствующей экспериментальной только при сравнительно небольших полях. В больших полях, и особенно близких по значению к E_M , теоретическая и экспериментальная IC - $C_{1/8}$ -границы сильно различаются. Существенное влияние на рассматриваемое различие может, по-видимому, оказывать одногармоническое приближение, которое использовалось выше. Действительно, оно становится плохо применимым при сравнительно больших значениях поля E и вблизи от C - IC -границы. Учет второй гармоники должен приводить к зависимости равновесных значений q_0 от поля E_x , причем в сторону уменьшения q_0 с ростом E_x . Именно такое искривление области существования $C_{1/8}$ -фазы наблюдается на рис. 1. Кроме того, учет второй гармоники должен понижать потенциал IC -фазы, сужая тем самым область существования $C_{1/8}$ -фазы. Поскольку амплитуда второй гармоники увеличивается с ростом поля E_x , такое сужение должно быть особенно заметным при больших значениях E_x . Сужение $C_{1/8}$ -фазы с ростом E_x наблюдается на рис. 1. Последовательное рассмотрение роли второй гармоники и ее влияния на теоретические фазовые диаграммы, приведенные на рис. 2, 3, выходит за рамки данной работы, поскольку требует дополнительных и трудоемких расчетов.

Работа выполнена при финансовой поддержке Российского фонда фундаментальных исследований (грант № 96-02-18738).

Список литературы

- [1] M. Barreto, P. Lederer, J.P. Jamet. Phys. Rev. **B28**, 7, 3994 (1983).
- [2] F. Denoyer, R. Currat. Chapt. 14 in Incommensurate Phases in Dielectrics. 2. Materials / Ed. R. Blinc, A.P. Levanyuk. North Holland, Amsterdam (1985).

- [3] P. Lederer, J.P. Jamet, G. Montambaux. *Ferroelectrics* **66**, 1–4, 25 (1986).
- [4] Д.Г. Санников. *ФТТ* **38**, 10, 3116 (1996).
- [5] M.D. Coutinho-Filho, M.A. De Moura. *J. Magn. Magn. Mater.* **15–18**, 433 (1980).
- [6] P. Lederer, C.M. Chaves. *J. Physique Lett.* **42**, 6, 127 (1981).
- [7] A.X. Cao, S. Krichene, G. Hauret, J.P. Benoit, J.P. Chapelle. *Solid State Commun.* **43**, 12, 933 (1982).
- [8] Y. Ishibashi. *J. Phys. Soc. Jap.* **56**, 1, 195 (1987).
- [9] H. Mashiyama, K. Hasebe, S. Tanisaki. *J. Phys. Soc. Jap.* **57**, 1, 166 (1988).
- [10] Д.Г. Санников. *Кристаллография* **41**, 6, 1044 (1996).
- [11] R.M. Hornreich, M. Luban, S. Strikman. *Phys. Rev. Lett.* **35**, 25, 1678 (1975).
- [12] A. Michelson. *Phys. Rev.* **B16**, 1, 577, 593 (1977).
- [13] Д.Г. Санников. *ЖЭТФ* **96**, 6(12), 2198 (1989); *ЖЭТФ* **97**, 6, 2024 (1990).
- [14] Д.Г. Санников. *Кристаллография* **36**, 4, 813 (1991).
- [15] J.P. Jamet. *J. Physique Lett.* **42**, 6, 123 (1981).